•腹部影像学 •

局限性肠系膜混浊征的 CT 征象及病因分析

符熙,张家雄,何伟红,彭涛,谢乐,饶燕芬

【摘要】目的:探讨局限性肠系膜混浊征(SMM)的 CT 特征及其主要发生原因。方法:回顾性分析 46 例 SMM 的 CT 及临床资料。CT 图像评估包括 SMM 的发生部位、厚度、血管变化、相邻肠壁改变、淋巴结肿大和脂肪环征。结果: 46 例 SMM 累及空肠系膜 39 例 (84. 78%),回肠系膜 7 例 (15. 22%)。38 例 (82. 61%) SMM 内出现血管扩张,11 例 (23. 91%) 出现 SMM 旁肠壁增厚,21 例 (45. 65%) 出现 SMM 内淋巴结肿大,7 例 (15. 22%) 出现脂环征。SMM 的主要病因: 水肿 18 例 (39. 13%),肿瘤浸润 13 例 (28. 26%),炎性改变 11 例 (23. 91%),特发性 4 例 (8. 70%)。空肠系膜与回肠系膜发生 SMM 的差异有统计学意义 ($\chi^2=22.09$,P<0.001)。肿瘤浸润与非肿瘤性 (炎性、水肿及特发性) SMM 内淋巴结肿大的发生率差异有统计学意义 (P=0.03,P<0.001),肿瘤浸润更易出现 SMM 内淋巴结肿大。结论:恶性肿瘤、水肿及炎症 CT 均可表现为 SMM,CT 显示 SMM 而没有明显恶性肿瘤阳性征象的患者,应进行随访复查,排查隐匿性恶性肿瘤的可能。

【关键词】 肠系膜混浊征; 肠系膜; 肿瘤; 水肿; 炎症; 体层摄影术, X 线计算机

【中图分类号】R574;R814.42 【文献标识码】A 【文章编号】1000-0313(2019)05-0513-05 DOI:10.13609/j.cnki.1000-0313.2019.05.007 开放科学(资源服务)标识码(OSID):



CT features and causes of the segmental misty mesentery FU Xi, ZHANG Jia-xiong, HE Wei-hong, et al. Department of Radiology, Foshan Chinese Medicine Hospital affiliated to Guangzhou University of Chinese Medicine, Guangdong 528000, China

[Abstract] Objective: To investigate the CT features and causes of segmental misty mesentery (SMM). Methods: CT and clinical data of 46 patients with SMM were retrospectively reviewed. The CT characteristics in site, thickness, vascular, bowel wall, lymphadenopathy and fat ring sign, were evaluated. Results: The jejunal and ileal mesentery was involved in 39 (84.78%) and 7 (15.22%), respectively. 38 (82.61%) cases had vascular dilatation, 11 (23.91%) had bowel wall thickening, 21 (45.65%) had lymphadenopathy and 7 (15.22%) had fat ring sign. The main causes of SMM were edema in 18 (39.13%), tumor invasion in 13 (28.26%), inflammation in 11 (23.91%), and idiopathic in 4 (8.70%). There was significant difference between jejunal and ileum mesentery ($\chi^2 = 22.09$, P < 0.001). Lymphadenopathy was more commonly seen in tumor infiltration. There was significant difference for lymphadenopathy between cases with tumor invasion and those without it (P = 0.03, P < 0.001). Conclusion: Malignant tumor, edema or inflammation may manifest as SMM on CT. For patients with SMM and absence of malignant tumor signs on CT, follow-up should be recommended to exclude the possibility of occult malignancy.

[Key words] Misty mesentery; Mesentery; Neoplasms; Edema; Inflammation; Tomography, X-ray computed

肠系膜是腹膜在肠表面的反折并融合而成,其内包括肠系膜血管、淋巴管、神经及少量的脂肪,对小肠及结肠起支持作用。国内外已有大量文献报道了 CT

在评估肠系膜混浊征(misty mesentery, MM)中的临床价值^[1-4]。肠系膜混浊多表现为弥漫性(non-segmental misty mesentery, NMM),但偶尔也可见到肠系膜节段性受累,即局限性肠系膜混浊(segmental misty mesentery, SMM)。本文回顾性分析 46 例 SMM 患者的 CT 征象,并探讨其病因。

作者单位:528000 广东,广州中医药大学附属佛山中医院放射科(符熙,张家雄,何伟红,彭涛,饶燕芬);病理科(谢乐)

作者简介:符熙(1982一),男,湖南衡阳人,硕士研究生,主 医师,主要从事胸腹部影像诊断工作。

基金项目: 2017 年 佛山市医学类科技攻关项目(2017AB002821)

材料与方法

1. 病例资料

搜集 2014 年 3 月 -2018 年 1 月在 CT 上表现为 SMM 的患者 46 例,14 例 SMM 经手术病理证实,13 例在术中观察确定,15 例随访确定,4 例病因不明;46 例患者中男 31 例,女 15 例,年龄 $35 \sim 78$ 岁,平均 (60.4 ± 7.2) 岁;临床症状以腹痛、便血、发热及消瘦为主。

2. 检查方法

采用 Philiph Brillance 64 层螺旋扫描系统 (Philiph 公司,荷兰)进行上中腹或全腹 CT 扫描。扫描参数:管电压 120 kV,管电流 220 mA,扫描准直器 0.625 mm,螺距自动匹配,层厚 1 mm,重建间隔 2 mm,矩阵 512×512 。CT 增强扫描采用非离子型对比剂碘海醇 75 mL(1.5 ml/kg 体重),以 3 mL/s 的流率经高压注射器团注,动脉期和门脉期的延迟时间分别为 25 s 和 60 s。全腹扫描范围从膈顶至耻骨联合下缘水平。采用软组织窗观察 CT 图像,窗宽 350~300 HU,窗位 $35\sim40$ HU。

3. 评价方法及指标

采用 CT 横轴面图像评价 SMM 的位置、厚度、肠系膜血管有无扩张、肠壁有无增厚、淋巴结有无肿大及脂肪环征(环绕肠系膜血管的脂肪影)。 SMM 厚度取横轴面 SMM 的最大厚度[5]。 肠系膜血管扩张或充

血:肠系膜血管直径大于 3 mm 或数目增加^[6],在不确定的情况下,与同一水平的肠系膜血管进行比较。肠壁增厚:肠壁厚度超过 4 mm^[7]。肠系膜淋巴结肿大:淋巴结直径大于 3 mm^[8]。

4. 统计学分析

采用 SPSS 16.0 软件进行统计学分析。计数资料的组间比较采用 χ^2 检验,计量资料的组间比较采用 Mann-Whitney U 秩和检验。以 P < 0.05 为差异有统计学意义。

结 果

1. SMM 的 CT 表现

46 例 CT 表现为 SMM 的患者中,恶性肿瘤 15 例 (32.61%),其中膀胱癌及肺癌没有发现明显的腹部转移征象。累及空肠系膜 39 例(84.78%),回肠系膜 7 例 (15.22%)。 SMM 厚度为 10 ~ 75 mm,平均 (40.15±14.45) mm。 38 例(82.61%) SMM 内可见血管扩张,11 例(23.91%)可见 SMM 旁肠壁增厚,21 例 (45.65%)可见 SMM 内淋巴结肿大,7 例 (15.22%)可见脂环征(表1)。19 例随访结果显示 3 例淋巴瘤、2 例结肠癌、5 例胰腺炎、4 例阑尾炎及 3 例肝硬化患者 SMM 较前吸收或消失(图 1),1 例肝硬化合并门静脉(portal vein,PV)及肠系膜上静脉(superior mesentericvein,SMV)血栓患者 SMM 较前加重(图 2),1 例膀胱癌患者 SMM 未见明显变化。

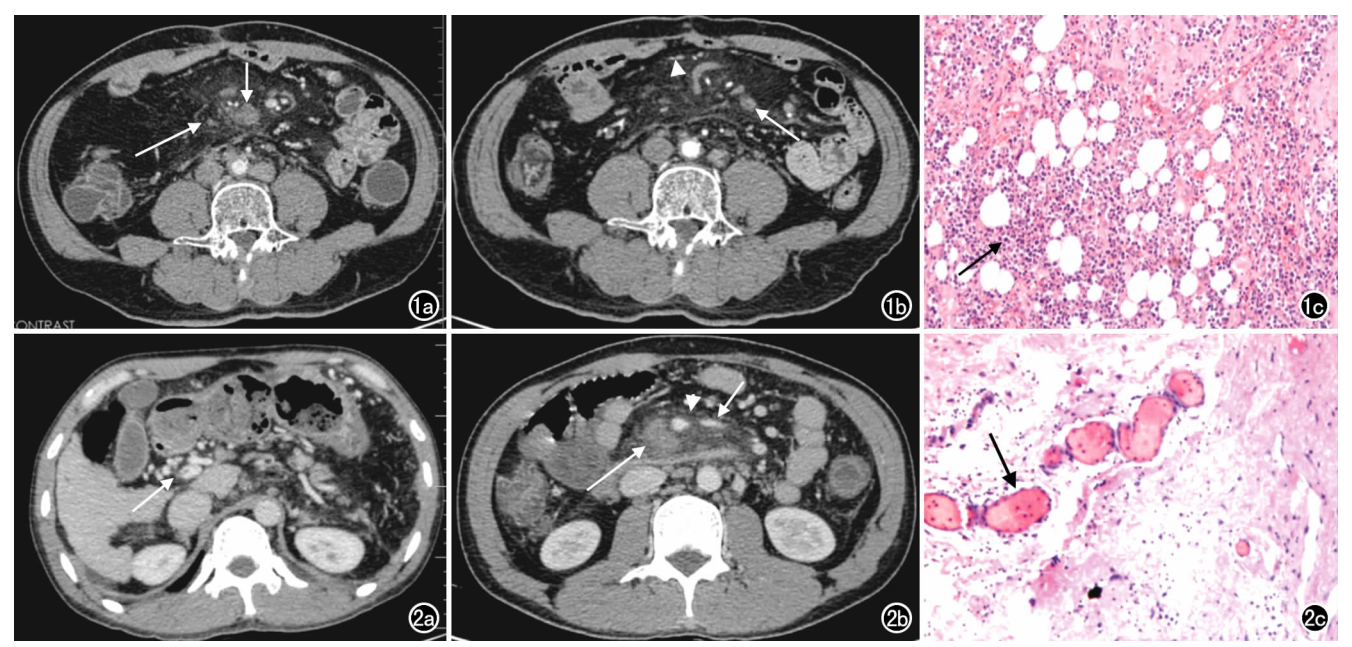


图 1 淋巴瘤患者,男,63 岁。a)治疗前空肠系膜见 SMM(长箭),其内淋巴结肿大(短箭);b)治疗后 SMM较前减轻,淋巴结较前缩小(箭),可见血管扩张(箭头);c)肠系膜病理结果为肠系膜大量淋巴细胞浸润(箭)(\times 200,HE)。 图 2 患者,男,40 岁,肝硬化合并 PV 及 SMV 血栓形成。a) CT 可见门脉少许血栓(箭),肠系膜脂肪间隙清晰;b)4 个月后 CT 复查可见 SMV 血栓(长箭)及空肠系膜根部 SMM(箭头),内见血管扩张(短箭);c)肠系膜病理结果为肠系膜水肿,其内可见血管扩张(黑箭)(\times 200,HE)。

2. SMM 相关的病理基础

27 例进行腹部手术的患者中,14 例经病理证实了肠系膜病变。3 例结肠癌及胰腺癌、前列腺癌、膀胱癌各 1 例病理证实为肿瘤浸润,1 例结肠癌 SMM 的病理检查未发现肿瘤浸润,仅表现为纤维结缔组织和肉芽肿性炎。2 例阑尾炎患者肠系膜呈炎性改变;2 例肝硬化患者肠系膜呈水肿改变。13 例(13/27)腹部手术患者仅在术野观察肠系膜,没有手术切除。7 例肝硬化(包括合并血栓患者)、1 例阑尾炎及 2 例胆管结石患者肠系膜重度水肿,1 例阑尾炎及 2 例胆管结石患者肠系膜可见炎性渗出(图 3)。

19 例未行手术的患者中,15 例通过 CT 特征和/或临床资料推测 SMM 的病因:6 例淋巴瘤患者 SMM 为肿瘤浸润;4 例肝硬化(包括合并血栓患者)、1 例 PV 及 SMV 血栓和 1 例小肠黏膜下出血患者(图 4)

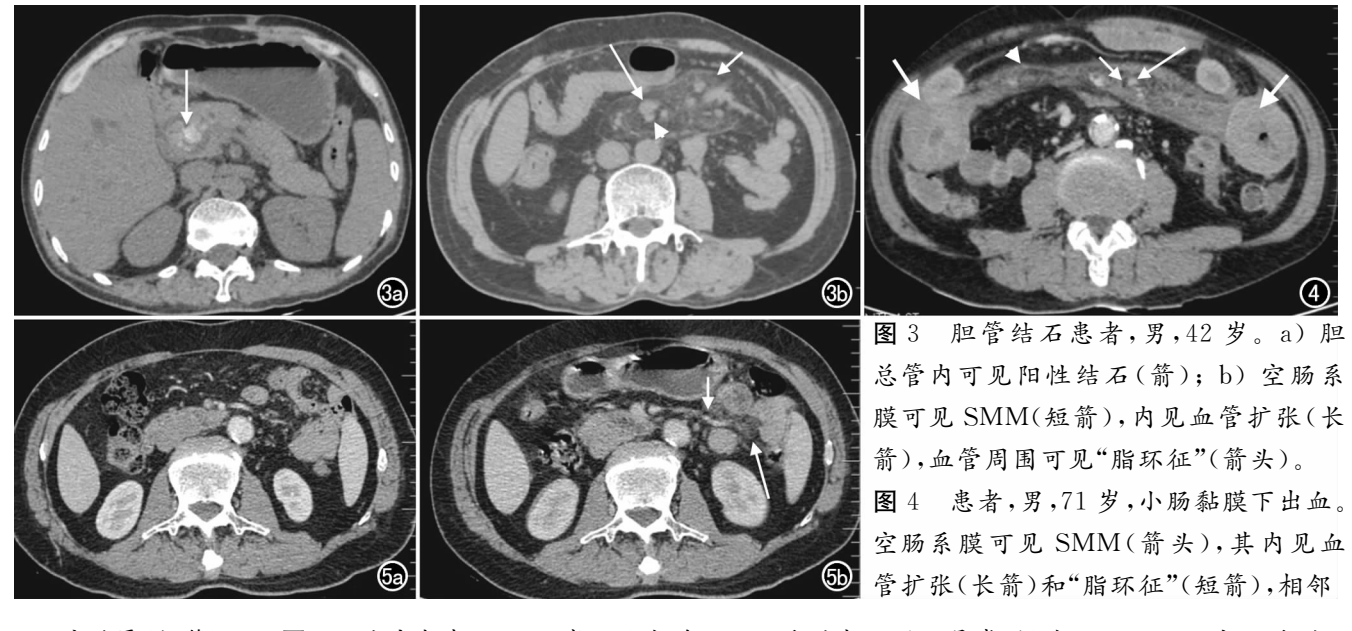
SMM 为充血水肿; 3 例胰腺炎患者 SMM 为炎性渗出; 1 例肺癌患者随访中出现 SMM, 无淋巴结肿大及血管扩张, 无明显腹部转移征象, 考虑为特发性(图5)。其余 3 例(3/20)未行手术的患者 SMM 病因尚不清楚, 表现为急性腹痛, 但实验室结果正常, 除 SMM 外没有其他阳性 CT 征象, 保守治疗后症状消失。

根据上述 14 例手术病理结果、13 例手术相关结果及 15 例根据 CT 表现和临床资料随访结果,分析得出 SMM 的病因: 18 例 (39. 13%)为水肿,13 例 (28. 26%)为肿瘤浸润,11 例(23. 91%)为炎性改变,其余 4 例(8. 70%)原因不明。另外 15 例腹腔内外恶性肿瘤患者中 SMM 结果为 13 例为肿瘤浸润,1 例为炎症,1 例为特发性。

3. 不同病因 SMM 的 CT 表现分析 不同病因 SMM 的 CT 表现分析结果见表 2,统计

表1 SMM的CT表现

原发病变(例)	发病部位	SMM 厚度 (mm)	血管扩张 (例)	肠壁增厚 (例)	淋巴结肿大 (例)	脂环征	手术 (例)
淋巴瘤(6)	空肠系膜	39.00±6.63	6	0	5	0	0
结肠癌(4)	空肠(3)、回肠(1)系膜	47.50 ± 7.59	4	4	3	1	4
胰腺癌(2)	空肠系膜	47.50 ± 6.36	1	0	2	0	2
前列腺癌(1)	回肠系膜	32.00	1	1	1	0	1
膀胱癌(1)	回肠系膜	36.00	1	0	1	0	1
肺癌(1)	空肠系膜	20.00	0	0	0	0	0
肝硬化合并 PV 及 SMV 血栓(6)	空肠系膜	21.50 ± 9.61	6	0	1	2	6
肝硬化合并 SMV 血栓(3)	空肠系膜	35.67 ± 5.86	3	0	1	0	1
肝硬化(4)	空肠系膜	40.00 ± 6.05	2	0	1	0	2
PV及SMV血栓(1)	空肠系膜	27.00	1	0	0	0	0
小肠黏膜下出血(1)	空肠系膜	30.00	1	1	0	1	0
胰腺炎(5)	空肠系膜	42.60 ± 18.49	3	0	2	0	2
阑尾炎(4)	回肠系膜	38.25 ± 6.24	3	4	3	0	4
胆管结石(4)	空肠系膜	58.00 ± 9.20	3	0	1	0	4
脂膜炎(3)	空肠系膜	63.00 ± 15.13	3	0	0	3	0



肠壁增厚(粗箭)。 图 5 肺癌患者,男,50 岁。a)术前 CT 肠系膜未见明显异常;b)术后 CT 可见空肠系膜 SMM(长箭),内见血管扩张(短箭),未见淋巴结肿大,相邻肠壁未见增厚。

CT 表现	肿瘤浸润(n=13)	炎性改变(n=11)	水肿(n=18)	特发性(n=4)
部位				
空肠系膜	11(84.61%)	7(63.64%)	17(94.44%)	4(100%)
回肠系膜	2(15.39%)	4(36.36%)	1(5.56%)	0
SMM 厚度(mm)	42.08 ± 8.17	43.73 ± 13.38	33.89 ± 14.32	52.25 ± 24.80
血管扩张	12(92.31%)	8(72.73%)	15(83.33%)	3(75.00%)
肠壁增厚	4(30.77%)	4(36.36%)	3(16.67%)	0
淋巴结肿大	12(92.31%)	6(54.55%)	2(11.11%)	0
脂环征	1(7.69%)	0	3(16.67%)	3(75.00%)

表 2 不同病因 SMM 的 CT 表现分析

学分析结果显示空肠系膜与回肠系膜发生 SMM 的差异具有统计学意义(χ^2 值=22.09,P<0.001);肿瘤浸润与非肿瘤性(炎性、水肿及特发性)SMM 内淋巴结肿大的发生率差异具有统计学意义(χ^2 值=0.03,P<0.001),肿瘤浸润更易出现 SMM 内淋巴结肿大;血管扩张、肠壁增厚及脂环征的发生率差异无统计学意义(χ^2 值=0.43,P=0.51; χ^2 值=0.09,P=0.76; χ^2 值=0.19,P=0.66);SMM 的厚度差异无统计学意义(Z 值=0.98,Z=0.33)。

讨论

肠系膜混浊征是指由于炎症细胞、液体(水肿、淋巴或血液)、肿瘤或纤维化浸润导致肠系膜脂肪密度增高的 CT 表现[1]。 MM 可分为弥漫性(NMM)和局限性(SMM),以 NMM 多见,常见于炎症性肠病、肠系膜及肠创伤、肝硬化失代偿期的患者; SMM 较少见,被认为是肠系膜脂膜炎的一个重要的 CT 征象,但相关研究表明除了肠系膜脂膜炎的炎症和纤维化外,其他血管性疾病引起的水肿和肿瘤的浸润也可引起SMM,原发灶可能存在于远离肠系膜的部位[9]。

本研究结果显示 46 例 SMM 患者中最常见的病 因为水肿,占39.13%,最多见于肝硬化合并PV或 SMV 血栓形成,这可能与我国肝硬化的流行病学特点 有关。肝硬化引起门脉高压,导致肠系膜周围边界模 糊不清,肠系膜上下静脉迂曲扩张[10];其次是肿瘤浸 润,占28.26%。本组15例为恶性肿瘤,其中13例为 肿瘤浸润,1 例为炎性纤维,1 例原因不明即特异性,这 与相关研究的结果相似[5]。SMM 可发生于原发病灶 周围的肠系膜,也可远离原发病灶,如本组1例肺癌为 术后出现 SMM,无其他腹腔转移的阳性 CT 征象,病 因不明,因此笔者将其归入特发性病因组,分析其原因 可能是肿瘤对机体微环境的影响,导致毛细血管通透 性及凝血功能的改变,而肠系膜毛细血管丰富,易受影 响[11]。恶性肿瘤患者出现 SMM 在文献中已有报道, Kipfer 等[12]研究了 53 例肠系膜脂肪密度增高的患 者,其中16例合并恶性肿瘤,其中8例为淋巴瘤,其余 为胃肠道或泌尿生殖道癌。Daskalogiannaki 等[13] 研

究显示 SMM 合并恶性肿瘤的发生率较高,49 例患者中有 34 例(69%)合并有恶性肿瘤。本研究结果还显示部分 SMM 具有可逆性,即当 SMM 的病理因素消失后,SMM 也随之减轻或消失,相关文献也有类似的报道^[5]。因此,密切随访 CT 上出现 SMM 的患者以寻找隐匿性恶性肿瘤是必要的,即使 CT 上没有明显的恶性肿瘤阳性征象。

本研究结果显示空肠系膜较回肠系膜更易受累, 虽然没有确切的原因解释这一差异,但这可能与空回 肠的解剖差异有关,空肠中的肠系膜血管分支弓较回 肠相对较少,空肠可能更容易受到静水压力的影响。 这两个部位肠系膜受累差异的另一个原因可能是这些 患者的大部分潜在疾病发生在上腹部,如肝、胃、胰腺 和近端降结肠[13]。本研究结果显示肿瘤浸润与非肿 瘤性 SMM 内淋巴结肿大的发生率差异具有统计学意 义,肿瘤浸润更易出现淋巴结肿大,而相关文献显示肠 系膜肿瘤 CT 表现缺乏特异性[14]。肠系膜根部是淋 巴结转移的好发部位,与其解剖学有关,肠系膜根部有 许多重要的结构和器官,恶性肿瘤除了直接浸润,还可 沿神经丛、相邻韧带或淋巴管蔓延[15]。因此,恶性肿 瘤合并的 SMM 更易出现淋巴结肿大。而肿瘤浸润与 非肿瘤浸润发生血管扩张、肠壁增厚及脂环征的差异 无统计学意义,可能原因有以下几点:①肿瘤血供增加 及血管炎性充血均可引起血管扩张[16];②肠道肿瘤特 别是较早期的肠道肿瘤 CT 上多表现为肠壁增厚,而 肠道炎性病变或水肿也可引起肠壁增厚,而有无淋巴 结或远处转移是两者鉴别的要点。③脂环征代表肠系 膜血管周围存在正常的脂肪组织,脂环征常被认为是 肠系膜脂膜炎的特征性表现,但本研究结果显示其它 原因导致的 SMM 也可出现脂环征。

综上所述,CT上出现 SMM 不是肠系膜脂膜炎的特征性征象,其他病理条件如水肿、肿瘤、炎症均可引起 SMM。本研究结果显示 28.26%的 SMM 是肿瘤浸润引起的,因此对于那些 CT 上没有明显恶性肿瘤阳性征象的 SMM,应进行随访复查,排除隐匿性恶性肿瘤的可能。

参考文献:

- [1] Filippone A, Cianci R, Di FF, et al. Misty mesentery: a pictorial review of multidetector-row CT findings[J]. La Radiologia Medica, 2011,116(3):351-365.
- [2] Pereira JM, Sirlin CB, Pinto PS, et al. Disproportionate fat stranding: a helpful CT sign in patients with acute abdominal pain[J]. Radiographics, 2004, 24(3):703-715.
- [3] 符熙, 靳仓正, 赵宋礼, 等. 多排螺旋 CT 肠系膜混浊征对回盲部病变的诊断价值[J]. 中国医学影像技术, 2012, 28(7): 1359-1362.
- [4] 郑伟良. 肠系膜混浊的 CT 鉴别诊断[J]. 国际医学放射学杂志, 1997,36(4):235-236.
- [5] Seo BK, Ha HK, Kim AY, et al. Segmental misty mesentery; analysis of CT features and primary causes[J]. Radiology, 2003, 226 (1):86-94.
- [6] Silverman PM, Kelvin FM, Korobkin M, et al. Computed tomography of the normal mesentery[J]. AJR Am J Roentgenol, 1984, 143(5):953-957.
- [7] Chaitanya T, Neeraj P, Rajneesh M, et al. Evaluation of bowel wall thickening by computed tomography to differentiate benign from malignant lesions[J]. J Clin Diagn Res, 2014, 8(11):9-12.
- [8] Kambadakone AR, Sahani DV. Multi-detector computed tomography in the gastrointestinal system[M]. Milan; Springer, 2008; 138-154.

- [9] 王锋,赵红金,刘林祥,等. 肠系膜脂膜炎的 CT 影像学表现及鉴别 [J]. 临床放射学杂志,2011,30(7):1010-1014.
- [10] 马恩森, 杨志刚. 肠系膜病变的 CT 表现及其解剖、病理学基础 [J]. 中国医学影像技术, 2006, 22(1):155-158.
- [11] Spano D, Zollo M. Tumor microenvironment; a main actor in the metastasis process [J]. Clin Exp Metastasis, 2012, 29(4); 381-395.
- [12] Kipfer RE, Moertel CG, Dahlin DC. Mesenteric lipodystrophy [J]. Ann Intern Med, 1995, 80(5):582-588.
- [13] Daskalogiannaki M. Voloudaki A. Prassopoulos P. et al. CT evaluation of mesenteric panniculitis: prevalence and associated disease[J]. AJR Am J Roentgenol, 2000, 174(2):427 431.
- [14] 李小荣, 欧陕兴, 钱民, 等. 原发性肠系膜肿瘤的 CT 诊断[J]. 放射学实践, 2008, 23(1): 37-40.
- [15] Okino Y, Kiyosue H, Mori H, et al. Root of the small-bowel mesentery: correlative anatomy and CT features of pathologic conditions[J]. Radiographics, 2001, 21(6): 1475-1490.
- [16] 邬宇美,骆子义,黄华.原发性肝癌中 KRAS 及 BRAF 基因突变 检测及临床意义分析[J].新发传染病电子杂志,2018,3(1):37-40.

(收稿日期:2018-07-17 修回日期:2018-10-07)

中华医学会放射学分会 2019 年全国乳腺影像学大会

由中华医学会、中华医学会放射学分会及中华医学会放射学分会乳腺学组主办,江西省肿瘤医院、 江西省医学会放射学分会、江西省抗癌协会肿瘤影像专委会承办的中华医学会放射学分会 2019 年全国 乳腺影像学大会将于 2019 年 6 月 21~23 日在江西省南昌市召开。本次会议主题为乳腺影像诊断与技术规范和最新进展。届时将邀请国内著名专家做专题讲座,并进行多种形式的学术交流活动。欢迎全国同道踊跃投稿并积极参会。

征文内容:①乳腺各种影像学检查技术规范应用;②乳腺各种影像学检查方法的联合应用及比较; ③乳腺各种影像诊断的规范;④乳腺影像技术及诊断的最新进展;⑤乳腺癌早期影像学诊断;⑥乳腺癌 多学科综合治疗影像疗效评价的方法;⑦乳腺影像介入诊疗技术的应用研究;⑧乳腺分子影像技术及诊 断等。

征文要求:①凡未在学术会议或杂志上公开发表过的学术论文均可投稿;②论文要求科学性强、数据可靠、重点突出、文字简练;③投稿需提交800~1000字论文摘要一份,包括"目的、材料与方法、结果、结论"四要素。

投稿方式:登录中华医学会放射学分会网站(www.chinaradiology.org)投稿,先在网页上注册后再进行投稿,不接收纸质和信箱投稿。

投稿截止时间:2019年5月15日

大会秘书处:江西省肿瘤医院放射科 孙美 13027245600

江西省肿瘤医院放射科 周雪春 13732907886

(中华医学会放射学分会)